

TlN_x

1917

BPE-445

TEN(SHf)

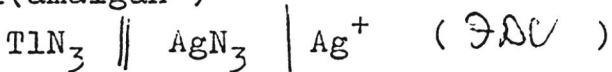
Wöhler h von., Martin E.

Z. ges. Schieß- und Sprengstoff We-
sen 1917, 12, N1, 1-3.

V 441

1942

Tl(amalgan)



Brouty M.- L.

Compt. rend. 1942, 214, 258-61

"Mean activity of thallium azide
solutions"

M



CA., 1943, 2640³

1952

V 443

AgN_3 , TlN_3 (ΔF° 298)

Suzuki S.

J.Chem.Soc.Japan, Pure Chem. Seet.

1952, 73, 150-2

Thermodynamic studies on silver
azide and thallous azide

M

CA., 1952, 9952h

F

BP-L-444

Mass - Mass., Биллс. МС | 1954

TEN₃ Mc-Ewan W., Williams M.M.

JACS, 1954, 76, N8, 2182 |>
- Hh -

Термоди
образован
Генетика образования
азота галлю

$$TEN_3(16) = +55,34 \pm 0,2$$

55-7-11276

B002-444-008

Определение в обиходной наложн. маг.

Более методом борьбы. В
земле, сод. 0,003% нитрата; -

T₂O

$$\Delta H_{298}(T_2O) = +55\ 340 \pm 200$$

кал/моль

~~117~~ 15 - (N° 298)

7442 1955

Gray P., Waddington F.C.

Chemistry and Industry, 1955, II 48,
1555-1556 (Ann.)

Shallow oxides: reactivity,
structure and thermochemistry

PA, 1956, II 17, 54173

JL

1956 17 54173 ✓ CP

TLN

Margrave J. L.,
Sthapitanonda P.

1955

J. Phys. Chem., 59, N12, 1231

Do

Заводящее кремнезем
известков. Т. морем.
насекомое зерни гексаго-
десику-
мугов.

(Си. SiN) III

TlN₃ (ΔH)

BP-313-II; BP-2 2642 956

Gray P., Waddington T.C.
Proc. Roy. Soc., 1956, A235, N 1200,
106-109 (ann.)

Thermochemistry and reactivity of the
azides. I.

Thermochemistry of the inorganic
azides.

PK., 1957, 22249

B.M.K



ЕСТЬ Ф. Н.

Ф

3

1957

V 361-BP

HOL, HLR, CHL, C, TLL, (AL, D, L, D, B, BRUGER.)
H. J. G. 1957, Jan., 313-323

Hair V. 361-BP, Lancollies U.H.

J. Chem. Soc., 1957, Jan., 313-323
Thermodynamics of ion association.
Part II. Lone thallous ion pairs
with univalent anions.

PK., 1958, R 9, 28027

W. 92

F

1960

16B9. Взаимодействие роданида и азида таллия с галогенами. И. Бацапов С. С., Серебряная Н. Р. «Изв. высш. учебн. заведений. Химия и хим. технол.», 1960, 3, № 6, 930—934.—Проведен расчет распределения зарядов в кристаллич. $TlSCN$ и TlN_3 , в результате которого показано наличие небольшого отрицательного заряда на атоме металла в этих соединениях. Высказанное предположение проверено путем изучения р-ций галогенирования, в результате чего установлено, что 1-м этапом окисления является повышение валентности Tl и лишь затем оказывается возможным окисление анионов. В ходе работы синтезированы $Tl_4(SO_4)_3 \cdot Cl_{10}$, $TlSCNBr_2 \cdot 3H_2O$, $TlSCNJ_2$, TlN_3Cl_2 , TlN_3Br_2 , TlN_3J_2 ; изучены их хим. свойства, измерены плотности и сплены дебаеграммы. Получена также рентгенограмма TlN_3 .

Из реюме авторов

Tl - соедин.

TlN_3

Р.Н. Желез
1960. 16B9

V-2912

8462

Kp (TlN₃, CdN₃⁺, Cd(N₃)₂, Zn N₃⁺, Zn(N₃)₂,
TlCl, TlSO₄, Cd Cl

Banerjea D., Singh I.P.

J. Indian Chem. Soc., 1962, 39, №5, 353-355

M est orig

Есть оригинал.

TEN₃

BPF-E-8004 | 1963

Краусс.
СМР-па

Krause B.H.,
J. Chem. Phys.,
1963, 39, N 7,
1706 - 1713.

FLN₃

(Tc)

BP-I-4598

1966

Kozey O.F., Rosenwas-
ser H.

Differential thermal
analysis of thallicous
azide. "Nature".

1966, 210, N 5043

Tl N_x

Ruff J. K.

1966

Develop. Inorg. Nitrogen
Chem., 1, 470.

N compounds of B, Al, Ga,
In, and Tl.

(ac. BN_x)I

1969

Tl N₃

Pistorius C. W. F. T.

J. Chem. Phys., 51(6), 2604
— — 2610

дизобаз

диазаранжик

исоцессорр.

и гибрай

(од. CsN₃) I

TlN₃

1972.

(T+ γ)

132798r Low-temperature phase transition in thallous azide.
Infrared absorption and Raman scattering study. Iqbal,
Zafar; Malhotra, M. L. (Feltman Res. Lab., Picatinny Arsenal,
Dover, N.J.). *J. Chem. Phys.* 1972, 57(7), 2637-41 (Eng).
The long wavelength modes of tetragonal (Phase I) TlN₃ in the
frequency range 30-2500 cm⁻¹, were obsd. and assigned. The
low-frequency spectrum becomes fairly complex at low temps.
due to an orthorhombic distortion of the Phase I lattice. The
possibility of a non-centrosymmetric structure is indicated by an
apparent breakdown of the rule of mutual exclusion for some of
the lattice frequencies. The phase transition involved a distor-
tion of the unit cell at $\approx 278^{\circ}\text{K}$ followed by a distortion of the
azide ions at $\approx 225^{\circ}\text{K}$. The latter temp. is close to the value
obsd. by differential thermal anal. The low-frequency Raman
spectrum was measured at different low temps. and the temp.
dependence of the frequencies are discussed in terms of micro-
scopic approaches to the phase-transition problem.

C.A. 1973.78. N20

Tl N₃ Tgbal. % 1973

"Adv. Raman Effectrocs. Vol.
1 Proc. 3rd Int. Conf. Reims,
1972" London e.a. 1973,
188-195 (aufl.)

Tcurie

(au N₃, I)

phi. 1975. N5

Б-2800

1973

TlN₃

4 E706. Термическое расширение и низкотемпературное фазовое превращение азида таллия. Mauer F. A., Hubbard C. R., Hahn T. A. Thermal expansion and low temperature phase transition of thallous azide. «J. Chem. Phys.», 1973, 59, № 7, 3770—3776 (англ.)

Рентгенодифракционным методом исследовано термич. расширение TlN₃ в интервале т-р 133—498° К, включающем точку фазового перехода (248 ± 5 ° К) между низкотемпературной (орторомбической) и высокотемпературной (тетрагональной) кристаллич. формами. Тетраг. фаза при 298,2° К имеет параметры: $a = 6,2094$ Å, $c = 7,3583$ Å, а орторомбич. фаза при 238,2° К: $a = 8,718$ Å, $b = 8,766$ Å, $c = 7,395$ Å. Фазовый переход не сопровождается, по-видимому, скачком уд. объема. Коэф. объемного термич. расширения равен $17 \cdot 10^{-5}$ К⁻¹ для орторомбической и $15 \cdot 10^{-5}$ К⁻¹ для тетраг. фазы. Линейные

(T_{tz})

Ф. 1974 № 4.

ВР-1391

коэф. термич. расширения обнаруживают аномальное поведение, приписываемое изменению ориентации ионов азота (N_3^{3-}). В точке перехода коэф. линейного расширения тетраг. фазы $\alpha_c \approx \alpha_a \approx 5.2 \cdot 10^{-5} \text{ К}^{-1}$, при 498° K α_c увеличивается до $21 \cdot 10^{-5} \text{ К}^{-1}$, α_a снижается до $-1.2 \cdot 10^{-5} \text{ К}^{-1}$. Коэф. α_b орторомбич. фазы остается постоянным в интервале $150-225^\circ \text{ K}$ ($\sim 5 \cdot 10^{-5} \text{ К}^{-1}$), в том же интервале α_a увеличивается от $10 \cdot 10^{-5} \text{ К}^{-1}$ до $22 \cdot 10^{-5} \text{ К}^{-1}$, а α_c снижается от $-1.5 \cdot 10^{-5} \text{ К}^{-1}$ до $-11 \cdot 10^{-5} \text{ К}^{-1}$.

В. Половов

TRN₃

8 Б799. Термическое расширение и низкотемпературный фазовый переход в азиде одновалентного таллия. Mauer F. A., Hubbard C. R., Hahn T. A. Thermal expansion and low temperature phase transition of thallic azide. «J. Chem. Phys.», 1973, 59, № 7, 3770—3776 (англ.)

(T_{t2})

Методами низкот-рной и высокот-рной рентгенографии и дифференциальной сканирующей калориметрии изучены фазовые превращения в монокристаллах и поликристаллах TiN₃ в области т-р ниже 500° К. Монокристаллы TiN₃ были получены выращиванием из геля, образованного добавлением водн. р-ра NaN₃ к водн. р-ру CH₃COOTl, а поликрист. TiN₃ были получены по этой же р-ции в виде тонкого осадка, к-рый затем высушивался без растирания. Содержание Na в обоих образцах не превышало 0,02 вес.%. При комн. т-ре TiN₃ имеет тетрагон. структуру, ф. гр. I4/mcm—D_{4h}¹⁸, параметры элементарной ячейки $a = 6,20942$, $c = 7,35832$ Å. При охлаждении тетрагон. TiN₃ претерпевает фазовое превращение при 248 ± 5 ° К и переходит в ромбич. модификацию. Определены параметры тетрагон. решетки высокот-рной модификации TiN₃ в интервале 248—498° К в среднем через каждые 25° и параметры ромбич. модификации в интервале 133—25° К. Параметры ромбич.

X. 1974
N 8

1973

B90 - 1391 - XV

* 5-2800

элементарной ячейки низкот-рий модификации TiN_3 равны $a = 8,718$, $b = 8,766$, $c = 7,395\text{ \AA}$ при $238,2^\circ\text{K}$. При изучении термич. расширения TiN_3 отмечены аномалии, к-рые являются следствием изменения ориентации иона N_3^- . Коэф. линейного расширения тетрагон. модификации α_a и α_c (вдоль каждой из кристаллографич. осей): составляет $\sim 5,2 \cdot 10^{-5} \text{ 1/град}$ в точке перехода. При повышении т-ры до 486°K α_c увеличивается до $21 \cdot 10^{-5} \text{ 1/град}$, а α_a одновременно уменьшается до $-1,2 \cdot 10^{-5} \text{ 1/град}$. Для ромбич. модификации TiN_3 при повышении т-ры со 1150 до 225°K коэф. термич. расширения меняются также аномально: величина α_b остается постоянной во всем интервале т-р и равна $5,2 \cdot 10^{-5} \text{ 1/град}$, в то время как α_a увеличивается с $10 \cdot 10^{-5}$ до $22 \cdot 10^{-5} \text{ 1/град}$, а α_c уменьшается с $-1,5 \cdot 10^{-5}$ до $-11 \cdot 10^{-5} \text{ 1/град}$. На основании эксперим. данных не замечено разрыва в значениях объема элементарной ячейки в точке перехода. Коэф. объемного расширения составляет около $17 \cdot 10^{-5}$ и $15 \cdot 10^{-5} \text{ 1/град}$ для ромбич. и тетрагон. модификаций TiN_3 соответственно.

А. В. Салов

TIN₃

(T_{tr})

C.A. 1974

80 n 6

31252q Thermal expansion and low temperature phase transition of thallous azide. Mauer, F. A.; Hubbard, C. R.; Hahn, T. A. (Inst. Mater. Res., Natl. Bur. Stand., Washington, D.C.). *J. Chem. Phys.* 1973, 59(7), 3770-6 (Eng). TIN₃ is tetragonal at room temp. It transforms at $248 \pm 5^\circ\text{K}$ to a phase that can be indexed on the basis of an orthorhombic cell. Lattice parameters of the tetragonal phase were detd. by the Bond single-crystal method at intervals of $\sim 25^\circ\text{K}$ from 248 to 498°K . Single crystals do not survive the transition, so the parameters of the orthorhombic phase were measured by powder diffraction at intervals of 25°K down to 133°K . Representative parameters, after corrections for the effects of radiation damage, are $a 6.2094$, $c 7.3583 \text{ \AA}$ at 298.2°K for the tetragonal phase, and $a 8.718$, $b 8.766$, $c 7.395 \text{ \AA}$ at 238.2°K for the orthorhombic. Thermal expansion parameters show anomalies that are believed to be the result of changes in the orientation of azide ions. The linear expansion coeffs., α_a and α_c , for the tetragonal phase are both $\sim 5.2 \times 10^{-5} \text{ }^\circ\text{K}^{-1}$ at the transition. By 486°K , α_c has increased to $21 \times 10^{-5} \text{ }^\circ\text{K}^{-1}$ and α_a has decreased to $-1.2 \times 10^{-5} \text{ }^\circ\text{K}^{-1}$. For the orthorhombic phase α_b remains const. at $5.2 \times 10^{-5} \text{ }^\circ\text{K}^{-1}$ while α_a increases from 10×10^{-5} to $22 \times 10^{-5} \text{ }^\circ\text{K}^{-1}$ and α_c decreases from -1.5×10^{-5} to $-11 \times 10^{-5} \text{ }^\circ\text{K}^{-1}$ in the temp. range 150 to 225°K . There does not appear to be a discontinuity in the vol. at the transition. The vol. expansion coeff. is approx. $17 \times 10^{-5} \text{ }^\circ\text{K}^{-1}$ for the orthorhombic phase and $15 \times 10^{-5} \text{ }^\circ\text{K}^{-1}$ for the tetragonal.

1973

✓
PP-1391-KV
28000
28000
28000

TIN₃

Омск 2213

1974

10 E614. Фазовая диаграмма TIN₃ в низкотемпературной области. Pistorius Catt W. F. T. Low temperature phase diagram of tinous azide. «J. Chem. Phys.», 1974, 60, № 9, 3720 (англ.)

Методом ДТА при т-рах от т-ры жидкого азота и повышенных давлениях исследована фазовая диаграмма TIN₃. При атмосферном давлении обнаружен переход при $-29,8 \pm 1,0^\circ\text{C}$. С увеличением давления линия перехода медленно повышалась и при $p=1,5_{-0,5}^{+1,5}$ кбар и $T=-27 \pm 1^\circ\text{C}$ полностью исчезла. Эти результаты согласуются с существованием линии перехода TIN₃ IV/II. (TIN₃ IV является низкотемпературной фазой), которая встречается с линией перехода TIN₃ II/III в тройной точке III/IV/II вблизи $p=1,5$ кбар и $T=-27^\circ\text{C}$. Калориметрич. измерения обнаружили переход IV-II при $T=-27,9 \pm 0,5^\circ\text{C}$ с энтропией перехода $0,47 \pm 0,30$ дж/моль·град, что значительно меньше $R \ln 2$ и позволяет предположить, что переход относится к типу порядок—беспорядок. Наличие описанного в литературе перехода при -5°C не подтверждено.

Е. С. Алексеев

(T_{tr})

XV-156710

Ф. 1974. № 10

TIN_3

отмече 2213

1974

20 Б808. Низкотемпературная фазовая диаграмма азида таллия. Pistorius Carl W. F. T. Low temperature phase diagram of thallous azide. «J. Chem. Phys.», 1974, 60, № 9, 3720 (англ.)

Методами ДТА и дифференциальной сканирующей калориметрии изучена при низких t -рах (t) и увеличивающемся давл. (p) $p-t$ -диаграмма TIN_3 . При $t = -29,8 \pm 1^\circ$ и $p = 1$ атм наблюдается обратимый фазовый переход $TIN_3 = IV/TIN_3-II$ (где TIN_3-IV — низкотемпературная фаза), медленно смещающийся в сторону низких значений t (по а... величине) при увеличении p ($t = -27, \pm 1^\circ$, $p = \sim 1,5$ кбар). Фазовые границы IV/II и II/III при этой т-ре пересекаются в тройной точке с координатами $p \approx 1,5$ кбар, $t = -27^\circ$. Уточненная t , изменение скрытой теплоты, энтропии (ΔS) и объема (ΔV) перехода IV/II

$(T_{tr}, \Delta H_{tr})$

2. 1974. N20

XV - 15 б/12

равны $-27,9 \pm 0,5^\circ$; 116 ± 74 дж/моль, $0,47 \pm 0,30$ э. с. и $\sim 0,01$ см³/моль ($\sim 0,02\%$) соотв. Значения ΔS и ΔV перехода IV/II несопоставимо малы по сравнению с ΔS и ΔV перехода II/III, вследствие чего граничная линия IV/III ниже тройной точки III/IV/II должна иметь не- сколько более крутой наклон по сравнению с линией II/III и t III/IV при $p=1$ атм не должна быть на много меньше ранее установленной t перехода III/IV ($\sim -80^\circ$). Указано, однако, что вследствие увеличения т-риого гистерезиса при низких t переход IV/III может происходить при значительно более низких t ($< -140^\circ$), а обратный переход III/IV происходит при -50° . Т-ра перехода II/I (тетрагон. фаза \rightarrow кубич. фаза) при $p=1$ атм. равна $290,6^\circ$.

С. С. Плоткин

1974

TIN₃

unpublished 2213
XV-1567a

127361w Low temperature phase diagram of thallous azide. Pistorius, Carl W. F. T. (Natl. Phys. Res. Lab., Counc. Sci. Ind. Res., Pretoria, S. Afr.). *J. Chem. Phys.* 1974, 60(9), 3720 (Eng). A DTA study of TIN₃ was made to resolve differences in published values for phase transition temps. and pressures. A transition at $-29 \pm 1.0^\circ$ at atm. pressure shifted to $-27 \pm 1^\circ$ at ~ 1.5 kbars and was not obsd. at higher pressure. The results are consistent with a IV/II (IV-low temp. phase, II-tetragonal ambient phase) transition line which meets the II/III (III-high pressure phase) line at a triple point at ~ 1.5 kbars and -27° . The IV-II transition at $-27.9 \pm 0.5^\circ$ has a latent heat of 116 ± 74 J mole⁻¹ (or transition entropy = 0.47 ± 0.30 J mole⁻¹ degree).

(ΔH_{tr}, T_{trc})

C.A. 1974, 81, N20

TlN₃

Carling Robert W.

1975

Abstr. Int B 1976, 36(10)

5056

/ all azugue used. elem;

1975

TLW

48308x Chemical bonding of the nitrides of Group IIIA elements. Pilyankevich, A. N. (Inst. Probl. Materialoznaystva, Kiev, USSR). *Dopov. Akad. Nauk Ukr. RSR, Ser. A* 1975,

2), 170-3 (Ukrain). An anal. was carried out of several rocks for detg. the ionic character of the bond in B, Al, Ga, In, and Tl nitrides. Calens. based on the best methodol. reveal an increasing ionic character in the order TIN < BN < InN < GaN < AlN.

J. Pabis-Macnel

+4

C.A. 1975, 83 n6

TlN₃

BGS - B10 - X 1978

Choi C.E., Prince E.

Kspes.

configur.

J. Chem. Phys., 1978

64, n11, 4510 - 16

TeN₃

* 45-18868

1974

Тетраэтил
азидат

Jenkins H., et al.

J. Phys. Chem. Solids,
1976, 38(6), 573-9.



(еси. N₃⁻; I)

TEN_3

(CP)

590 - 1739 - BX

ammecu 7439 1978

Carling R. W. et al.

J. Chem. Thermodyn.

1978, 10, 1181 - 1200.



(cu. KN_3 ; i)

1979

TlN₃

RbN₃

(Tr)

91: 220562d Raman study of the lattice vibrations in the tetragonal to cubic phase transition of thallous and rubidium azide. Owens, F. J. (Energ. Mater. Lab., ARRADCOM, Dover, NJ USA). *J. Phys. C* 1979, 12(12), 2255-60 (Eng). The high-temp. tetragonal → cubic phase transition of TlN₃ and RbN₃ was studied using laser Raman spectroscopy. The line widths of the librational modes of linear N₃⁻ diverge near the transition temp. due to a fluctuation of the ion orientation. A slight softening of the frequencies of the librational modes was obstd. near the transition temp.

(+1)



C.A. 1979, 9, N26

1981

TeN₃

⑤ 9 Е629 ДЕП. Аномалии скорости и затухания звука вблизи высокотемпературного фазового перехода в азиде таллия. Беломестных В. Н. Редкол. ж «Изв. вузов. Физ.». Томск, 1981. 6 с., ил., библиогр. 4 назв. (Рукопись деп. в ВИНИТИ 25 июня 1981 г., № 3109-81 Деп.)

Резонансным методом измерены скорости ультразвука и внутреннее трение в TeN₃ в интервале т-р 20-327°С. Обнаружены аномальные изменения этих характеристик вблизи 284° С. Показано, что вид $U(T)$ и $Q^{-1}(T)$ в окрестности $\beta \rightarrow \alpha$ -превращения в TeN₃ аналогичен наблюдавшемуся ранее при фазовом переходе в азиде цезия. Обсуждается модель исследуемого структурного превращения.

Автореферат

ф. 1981 № 9

TEN

1981

Торгуненко С.П. и гр.

Порошк. мелкодисперсн,
1981, № 6, 75-77.

(период.
c6-8a)

(ав. BN; I)

1984

TlN₃

5 E635. Колебательные спектры и структурный фазовый переход в азиде таллия при $T_c = 240$ К. Алексеев Д. В., Казунина Г. А. «Физ. твёрд. тела» (Ленинград), 1984, 26, № 11, 3492—3493

В интервале т-р 140—235 К измерены спектры ИК-поглощения AlN₃ с целью получения данных о структурных изменениях при фазовом переходе вблизи $T_c = 240$ К. Экспериментальная температурная зависимость величины расщепления и контрастности давыдовского дублета в низкотемпературной фазе при 628 см^{-1} сопоставлена с рассчитанной в модели, предполагающей поворот аниона N₃⁻ из плоскости (001). Качественное согласие расчетных данных с измеренными послужило основанием для вычисления угла поворота аниона в зависимости от т-ры, который изменяется от 10° — 11° при $T = 0$ до 4° — 5° при $T = T_c$. Конечная величина скачка угла поворота указывает на принадлежность исследованного перехода к первому роду.

Б. Г. Алапин

сф. 1985, 18, N 5

TIN₃

1984

13 Б3158. Колебательные спектры и структурный фазовый переход в азиде таллия при $T_0=240$ К. Алексеев Д. В., Казунина Г. А. «Физ. твёрд. тела» (Ленинград), 1984, 26, № 11, 3492—3493

Сообщаются результаты исследований методом ИК-спектроскопии структурного фазового перехода при 240 К в свежеприготовленном поликрист. TIN₃ (I). Проанализированы изменения ИК-спектра в результате перехода от низкот-рной к высокот-рной фазе I в связи с протекающей при этом структурной перестройкой. Предложена качеств. модель, описывающая изменение спектра. Сделан вывод, что высокот-рная фаза стабилизируется ангармонизмом, а рассматриваемый фазовый переход 1-го рода.

В. Е. Смирнов

X, 1985, 19, N 13.

Ten₃

1984

5 Е635. Колебательные спектры и структурный фазовый переход в азиде таллия при $T_c=240$ К. Алексеев Д. В., Казунина Г. А. «Физ. твёрд. тела» (Ленинград), 1984, 26, № 11, 3492—3493

В интервале т-р 140—235 К измерены спектры ИК-поглощения AlN_3 с целью получения данных о структурных изменениях при фазовом переходе вблизи $T_c=240$ К. Экспериментальная температурная зависимость величины расщепления и контрастности давыдовского дублета в низкотемпературной фазе при 628 см^{-1} сопоставлена с рассчитанной в модели, предполагающей поворот аниона N_3^- из плоскости (001). Качественное согласие расчетных данных с измеренными послужило основанием для вычисления угла поворота аниона в зависимости от т-ры, который изменяется от 10° — 11° при $T=0$ до 4° — 5° при $T=T_c$. Конечная величина скачка угла поворота указывает на принадлежность исследованного перехода к первому роду.

Б. Г. Алапин

cf. 1985, 18, n5

T_eN₃

1984

102: 102646g Vibrational spectra and structural phase transition in thallium azide at $T_e = 240$ K. Alekseev, D. V.; Kazunina, G. A. (Kemer. Univ., Kemerovo, USSR). *Fiz. Tverd. Tela (Leningrad)* 1984, 26(11), 3492-3 (Russ). IR spectroscopic investigation of the Davydov splitting of the N₃⁻ deformation vibrations at temps. approaching the temp. of the structural phase transition at $T_c = 240$ K confirmed the suggestion of Z. Igbal et al. (1974) relating this phase transition to the rotation of N₃⁻ anion out of the (001) plane, perpendicular to the tetragonal axis. Good qual. agreement was obtained between the obsd. transformation of IR spectrum of T_e and the spectral parameters calcd. using this model. The square of the anion rotation angle η^2 depends linearly on temp. over the whole studied temp. range (140-240 K).

T_{tr}

c.A. 1985, 102, N 12

TIN₃

1985

і2 Б3173. Структура азида таллия (TIN_3) ниже температуры фазового перехода $T_c=240$ К. Алексеев Д. В., Казунина Г. А. «Физ. тверд. тела» (Ленинград), 1985, 27, № 1, 34—38

Критерий Лавренчича—Шигенари для симметрии мягких мод при антиферродисторсионных переходах ($k_c \neq 0$) применен для установления симметрии азида таллия в низкот-рной фазе при структурном переходе $T_c=240$ К. Показано, что низкот-рная фаза имеет симметрию D_{2h}^{20} . Приведена схематич. трансформация анионной подрешетки кристалла при фазовом переходе.

Резюме

Структура

X. 1985, 19, N 12

Пенз

1985

У 6 Е681. Структура азида таллия (TIN_3) ниже температуры фазового перехода $T_c=240\text{ K}$. Алексеев Д. В., Казунина Г. А. «Физ. тверд. тела» (Ленинград), 1985, 27, № 1, 34—38

Критерий Лавренчича—Шигенари для симметрии мягких мод при антиферродисторсионных переходах ($k_c \neq 0$) применен для установления симметрии азида таллия в низкотемпературной фазе при структурном переходе $T_c=240\text{ K}$. Показано, что низкотемпературная фаза имеет симметрию D_{2h}^{20} . Приведена схема перестройки анионной подрешетки кристалла при фазовом переходе.

Резюме

φ 1985, 18, N 6.

Aзид Te

1985

5 Е725 ДЕП. Структурные исследования азидов тяжелых металлов. Сидорин Ю. Ю., Пугачев В. М., Диамант Г. М.; Кемеров. ун-т. Кемерово, 1985. 24 с. Библиогр. 4 назв. Рус. (Рукопись деп. в ВИНИТИ 29.12.85, № 9016—В)

Изучены структурные изменения в процессе воздействия на азиды тяжелых металлов разлагающихся факторов (тепло, радиация) и механич. напряжений. Установлен тип решетки тонких слоев азида таллия, изучен полиморфизм в азида серебра. Показано, что в кристаллах азида серебра при нагревании происходит фазовый переход 1-го рода, т-ра которого варьируется в диапазоне т-р 443—463 К и сложным образом зависит от биографии и степени разложения образцов. Описано явление двойникования монокристаллов азида серебра под действием напряжений сдвига.

Автореферат

№ 18

ф. 1986, 18, N.5

Aзид Ag